РАЗРАБОТКА И РАСЧЁТ НОВОЙ КОНСТРУКЦИИ КОЛОСНИКОВОЙ РЕШЕТКИ НА УПРУГИХ ОПОРАХ ОЧИСТИТЕЛЯ ХЛОПКА-СЫРЦА.

DEVELOPMENT AND CALCULATION OF A NEW DESIGN OF A GRATE ON ELASTIC SUPPORTS OF A RAW COTTON CLEANER.

Department of "Technological Machines and Equipment"
Teacher, PhD,
Malikov Sardorbek
Department of "Technological Machines and Equipment"
Trainee-teacher,
Ergashev Muminjon
Independent researcher,
Abdullayev Fayzullo
Student of group 51-TMJ-22,
Namangan state technical university.
Odilov Khayrullo
Doctoral student of Andijan State Technical Institute
Uzbekistan Namangan

Norbayeva Dilfuza

Аннотация:Статъя посвящена для составления дифференциалъных уравнений вынужденных колебаний стержня колосника на упругих опорах, теоретического решения вопросов прочности, разработки предложений для определения оптималъных параметров колосниковой решетки и снижения металлоемкости машины.

Ключевые слова: хлопковое волокно, колосниковая решетка трубчатый стержень, упругий опор, вынужденная колебания, балка, технологическая распределенная нагрузка, пильчатый барабан, вынужденная колебания, очиститель хлопка от крупного сора.

Abstract: The article is devoted to the compilation of differential equations of forced oscillations of the grate bar on elastic supports, a theoretical solution to the problems of strength, the development of proposals for determining the optimal parameters of the grate and reducing the metal intensity of the machine.

Keywords: cotton fiber, grate, tubular rod, elastic supports, forced vibrations, beam, technological load distributed, saw tooth drum, forced vibrations, cotton cleaner from large litter.

В мировом рынке хлопковое волокно является основным изделием текстильной промышленности. По сведениям международного консультативного комитета (ICAC) «2015-2016 годы по импорту хлопкового волокна такие страны как Бангладеш, Вьетнам, Китай, Турция, Индонезия, Пакистан были ведущими». В годы независимости в республике осуществлены широкие мероприятия, касающиеся по созданию управлением систем, приводящих к улучшению потребительских свойств хлопковых изделий в технологическом процессе первичной обработки. В этих направлениях в частности, в хлопкоочистительных предприятиях в зависимости от первичных показателей по получению хлопкового изделия с намеченными качествами, по улучшению техники и технологии

очистки хлопка от мелкого сора достигнуты ощутимые результаты. В стратегии движении Республики Узбекистан в 2017-2021 годы намеченные задачи в конкурентоспособности националъной частности повышению экономики, уменьшение расходов энергии И ресурсов, широкие внедрения энергосберегающих технологий в производств. В пути осуществления этих задач создание новых технологий первичной обработки хлопка, в особенности усовершенствование техники и технологии очистки от мелкого сора и внедрение в производства является одним из важных задач хлопковой промышленности.

Для осуществления задач, поставленных в Указ президента Республики Узбекистан от 7 февраля 2017 годы номером ПФ-4947 «Стратегия действий развития Республики Узбекистан, В решениях Кабинета министров Республики Узбекистан 3 апреля 2017 года номером 70, «Программа модернизации и реконструкции предприятий хлопкоочистительной промышленности», 22 декабря 2016 года ПК 2692, «Ускоренное обновление физически изношенных и морально устаревших машин и оборудований в промышленных предприятиях, а также дополнительные меры по уменьшение производственных затрат» и в других перечнях правовых документах это диссертационное исследование в распределенной степени заслуживает внимание [1].

В последние годы значительно возросли требования к качеству хлопка - волокна и семян. Для получения высокого качества хлопка-волокна и семян комплексно решаются вопросы совершенствованийй конструкций рабочих органов машин первичной обработки хлопка, особенно очистителей хлопка от крупных сорных примесей. [2].

Нашей промышленностью выпускаются различные колосниково - пильчатые очистители. В создании очистительного эффекта большую роль играет колосниковые решетки. Сорные примеси под действием центробежной силы и воздушного потока выпадают через зазоры между колосниками [3].

Существующая колосниковая решетка состоит из пяти трубчатых стержней, двух больших и трех малых сегментов, соединенных определенным образом путем сварки и составляет жесткую конструкцию. На основании обобщения конструкций колосниковых решеток и видов их очистки отечественными технологическими машинами, а также зарубежных стран была разработана новая конструкция колосниковой решетки, колеблющейся за счёт упруго — податливых опор от действия хлопка-сырца (А.С. № 874776).

Данная работа является основой для составления дифференциальных уравнений вынужденных колебаний стержня колосника на упругих опорах, теоретического решения вопросов прочности, разработки предложений для определения оптимальных параметров колосниковой решетки и снижения металлоемкости машины.

Проведенные экспериментальные исследования показали, что превалирующей динамической нагрузкой от технологического сопротивления на стержни, является нагрузка, приходящаяся в радиальном направлении пильчатого барабана. Обработка результатов экспериментальных исследований выявила, что технологическая распределенная нагрузка по длине стержня имеет форму,

описываемую по закону: $q_1 = \int S^t \sin \frac{\pi x}{L}$, а вынужденные колебания стержня колосника вибрационной нагрузкой по закону $q(x)\sin\theta t$.

В первом приближение стерженъ колосника рассматривается как балка с равномерно-распределенной нагрузкой (от веса стержня), опирающаяся на пять опор. При составлении уравнений движения не учитываются: возбуждение стержня от ударных нагрузок перпендикулярных к радиальному направлению из-за незначительности, влияние колебаний других стержней колосниковой решетки и нагрузки в осевом направлении стержня. При учете вышеперечисленных допущений имеем неразрезную балку на упругих опорах. Данная балка для динамического расчёта обращается в однопролетную, неопределимую путем исключения всех промежуточных опор и замены их действия на балку неизвестными силами реакций. Жесткости упругих опор C_1 в точка A и E равны между собой и определяются как обратная величина податливости резиновых втулок установленных в этих точках. Жесткости промежуточных опор C_{2} , C_{3} в точках B, C, Д определяются с учетом податливости резиновых втулок и жесткости самой балки. Для составления дифференциального уравнения вынужденных колебаний балки на упругих опорах при вибрационной нагрузке дважды продифференцируем уравнение изогнутой оси балки [3]

$$EY \frac{\partial^4 y}{\partial x^4} + m \frac{\partial^2 y}{\partial x^2} + \sum P_k \dot{c} \quad q(x) \sin \theta t$$
 (1)

где y – перемещение балки в сечении

 $m \times \frac{\partial^2 y}{\partial x^2}$ - интенсивность инерционных сил, направленных вверх

 $\sum P_k = R_A + R_B + R_C + R_D + R_E$ - силы сопротивления движению, направленные вверх

 $q(x)\sin(\theta t i)$ вибрационная нагрузка, вызывающая вынужденные колебания балки

 θ – ι угловая частота.

ЕУ сопят т.к. балка однородна и имеет одинаковые поперечные сечения по всей длине. В связи с тем, что свободные колебания балки с течением времени от сопротивлений затухают, то в установившемся движении будут только вынужденные колебания, поэтому в уравнении (1) не учтены свободные колебания балки.

Частное решение уравнения (1) будем искать в виде: $Y_{uacm}(x,m)=(x).\sin(\theta.t)$

Подставив его в исходное уравнение получим

$$Y_4^{IV}(X) - S^4 \cdot y(X) = \frac{q(X)}{FV}$$
 (2)

$$\Gamma Де S^4 = \frac{m\theta^2}{EY}$$

Общее решение уравнения (2) имеет вид

$$\hat{Y}_{obm}(X) = Q \cdot \hat{A}_{sx} + b \cdot B_{sx} + c \cdot C_{sx} + d \cdot D_{sx}$$

где A_{sx} , B_{sx} , C_{sx} , D_{sx} - функции влияние, определяются по методике, предложенной в [5].

Частное решение (2), если q(x) не многочлен

$$\mathbf{y}_{uacm}(\mathbf{X}) = \frac{q(\mathbf{x})}{S^4 E \mathbf{y}}$$

Тогда общее решение (полный интеграл) (2) будет:

$$(X) = Y_{obm}(X) + Y_{uacm}(X) = Q \cdot A_{sx} + b \cdot B_{sx} + c \cdot C_{sx} + d \cdot D_{sx} + \frac{q(x)}{S^4 EY}$$
(3)

где a, в, c, d определяются путем последовательных дифференцирований уравнения (3), используя начальные условия:

$$y(0); y'(0); M(0) \stackrel{\iota}{\iota} EJy''(0); Q(0) \stackrel{\iota}{\iota} EJy'''(0)$$
 [6]

Подставляя найденные значения a, в, c, d в уравнение (3) и его последовательные производные y'(x), y''(x) получим:

$$y(x) \stackrel{?}{\lor} y(0) A_{sx} + \frac{y^{(0)}}{S} \cdot Bsx - \frac{Q(0)}{S^{3}E \cdot Y} Dsx - \frac{Q(0)}{S^{4}E \cdot Y} \cdot (A_{sx} - \stackrel{?}{\lor} 1)$$
(4)
$$y'(x) \stackrel{?}{\lor} y(0) SD_{sx} + y'(0) \cdot A_{sx} - Q(0) \cdot \frac{C_{sx}}{S^{2}EI} - q(0) \cdot \frac{D_{sx}}{S^{3}EI}$$
(5)

$$\mathbf{M}(\mathbf{x}) = Q(0) \frac{Bsx}{S} + \frac{Q(0)}{S^2} C_{sx} - S^2 EJy(0) C_{sx} - SEJy(0)$$
 (6)

В связи с тем, что в рассматриваемой балке (рис. 1) имеются разрывы в точках В, С, Д куда приложены силы реакции упругих опор, поэтому необходимо для каждого участка балки составить отделъные уравнения началъных параметров:

I участок $0 \le X \le L/4$

$$y_1(x) = y(0) A_{sx} + \frac{y'(0)}{S} B_{sx} - \frac{RA}{S_3 EY} D_{sx} - \frac{q+q1}{S^4 EJ} (A_{sx} - 1)(7)$$

$$M_{1}(x) = \frac{RA}{S_{\square}} B_{sx} - \frac{q+q1}{S^{4}EJ} C_{sx} - S^{2}EY y'(0) D_{sx}$$
 (8)

II участок

$$L/4 \le X \le L/2$$

$$y_{2}(X) = y_{1}(X) + \frac{R_{b}}{S^{3}} \cdot D_{s}(X - \frac{L}{4})$$

$$M_{2}(X) = M_{1}(X) + \frac{R_{b}}{S} \cdot B_{s}(x - \frac{L}{4})$$
(9)

III участок $L/2iX \le 3/4$. L

$$y_{3}(X) = y_{2} + \frac{R_{c}}{S^{3}} \cdot D_{s}(X - \frac{L}{4})$$

$$M_{3}(X) = M_{2}(X) + \frac{R_{c}}{S} \cdot B_{s}(X - \frac{L}{2})$$
(10)

IV участок

$$\frac{3}{4}$$
. Li $X \leq L$

$$y_{4}(X) = y_{3}(X) + \frac{R_{D}}{S^{3}} Ds(X - \frac{3}{4}.L)$$

$$M_{4}(X) = M_{3}(X) + \frac{R_{D}}{S} Bs\left(X - \frac{3}{4L}\right)$$
(11)

Неизвестные параметры y(0), y1(0), R_A , R_B , R_c определим используя дополнительные условия накладываемые на перемещения по направлению

исключенных опор. Неизвестные опорные реакции в точках Д и Е в силу симметричности нагрузок равны: $R_A = R_{E,\square} R_B = R_D$

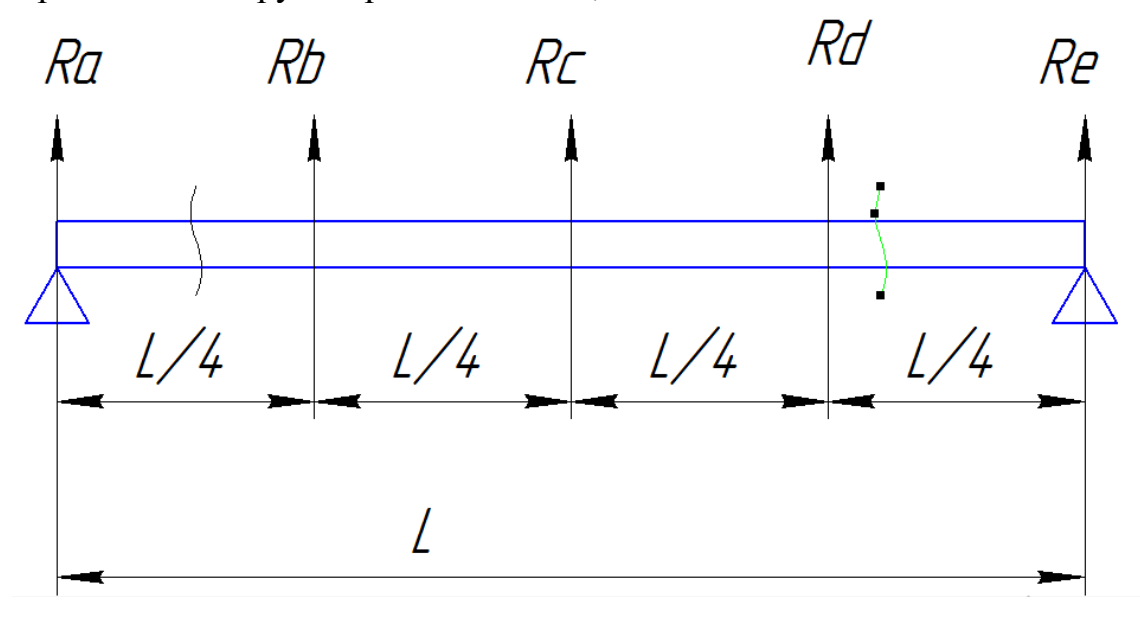


Рис.1. Сила, действующей на реакцией опор колосниковой решетки очистителя хлопка-сырца от крупного сора.

При этом

$$y(0) \stackrel{\iota}{\overset{L}{\overset{}}} \frac{R_A}{C_1}; y\left(\frac{L}{4}\right) = \frac{R_B}{C_2}; y\left(\frac{L}{2}\right) = \frac{R_c}{C_3}; y\left(\frac{3}{4L}\right) = \frac{R_D}{C_2}; \tag{12}$$

Следовательно:

$$Y(L/4) \dot{c} y(0) \frac{A_s L}{4} + \frac{y'(0)}{S} \cdot \frac{B_s L}{4} + \frac{q + q_1}{S^4 E J} \cdot (\frac{A_s L}{4} - 1) = \frac{R_B}{C_2}$$

$$y(L/4) \dot{c} y(0) \frac{A_s L}{4} + \frac{y^1(0)}{S} B_s L/4$$
(13)

После решения системы уравнений по определению и подставляя их значения в уравнения (7)- (14) можно определить перемещения и изгибающие моменты в любом сечении балки. По резулътатам решения уравнений (7) - (14) и проведения прочностных расчетов на ЭВМ при различных вариациях исходных определены рабочие параметры новых колосниковых решеток относительно существующих очистителей с жесткими колосниками. Сложные условия работы колосников, а также зависимостъ характера колебаний от многих факторов показывают необходимость создания динамической модели колосника на упругих опорах для расчета его рациональных параметров. В качестве динамической модели выбрали одномассовую колебательную систему. Характер и величина технологического сопротивления были получены тензометрированием Дальнейшая экспериментальных исследований. обработка осциллограмм позволила представить $F_{t,b}$ как сумму ряда гармонических сил и представляющей нелинейную силу. Дифференциалъное уравнение случайной, движения одномассовой колебательной системы вид:

$$m\dot{x} + \varepsilon\dot{x} + c\dot{x} = F_{t.b.}; F_{t.b} = M\dot{c}$$

где т- масса колосника; С- коэффициент жесткости упругой опоры; всопротивления упругой опоры; вязкого математическое ожидание технологического возмущения на колосник и ее случайное составляющее. Аналитическое решение данного нелинейного дифференциального уравнения практически представляет значительную трудность, поэтому его решение произведено на ЭВМ типа «Pentium-IV» с применением программы «Maple» методом Рунге-Кутта. Для определения наилучших динамических параметров системы и нахождения связи между ними, проведены вариационные исследования исходных параметров, полученных экспериментально:

$$m=1,8 \frac{Hc^2}{m}; C=12500 \frac{H}{m}; b=50 H \frac{c}{m}; F_{t.b}=M(F_{t,b})\pm\delta(F_{t.b})$$

$$M(F_{t,b})=30+3.97\cos 30 x-2.28\sin 30 x+0.73\cos 60 x+0.52\sin 60 x$$

где, $\delta(F_{t,b})$ - случайная ставляющая технологической нагрузки от хлопка. Зададим ее в виде генератора случайных чисел с частотой 34 Γ ц и амплитудой 15 H.

Диапазон варирования значения жесткости установлен по результатам проведенных экспериментов С=6250, 18750, 25000, 37500 Н/м. Важность вариации жесткости упругой втулки обусловлена тем, что ее значение непосредственно влияет на весь динамический процесс в системе, определяет вынужденных колебаний определенной возникновение амплитуды, обеспечивает эффективность протекания технологического процесса очистки хлопка. На рис. 2 а показаны теоретические кривые изменения перемещения массы системы X, ее скорости \dot{X} и ускорения \ddot{X} при технологическом режиме работы с варьированием коэффициента жесткости упругой опоры колосника. Анализ этих графических зависимостей показывает довольно быстро нашение собственных колебаний одномассовой системы (около 0,1 с) и соответствие вынужденных колебаний массы колосника характеру аппроксимированной технологической нагрузки. Ясно видно и уменьшение амплитуды низкочастотных колебаний с увеличением коэффициента жесткости упругой опоры (рис. 1). Учитывая, что значительные изменения амплитуды колебаний колосника приводят к превышению пределов зазора между пилъчатом барабаном и

$$C^{2}(1,8\div2,5)^{1}(10^{4}\frac{H}{M}.$$

колосником, наилучшими значениями коэффициента жесткости упругой опоры,

обеспечивающие необходимую величину зазора, являются

Диапазон варъирования значений коэффициента диссипации, характеризующей упругую опору, установлен по результатам эксперимента для резины марки HO-68 (в $\stackrel{\cdot}{6}25$;75;100;150H*c/m $\stackrel{\cdot}{6}$. Учет диссипации обусловлен способностью поглашать свободные колебания и часть вынужденных колебаний. На рис. 2 б показаны зависимости изменения параметров системы $X, \stackrel{\cdot}{X}, \stackrel{\cdot}{X}$ при изменении с Рекомендуемые значения коэффициента диссипации $(80 \div 100) H \frac{c}{m}$. Результаты экспериментальных исследований показали 3, 4, что колосник на

упругом основании испытывает нагрузки от протаскиваемого пильным барабаном хлопка-сырца в $2 \div 3,5$ раза меньше относительно нагрузки, приходящейся на колосник с жесткой опорой (серийный вариант).

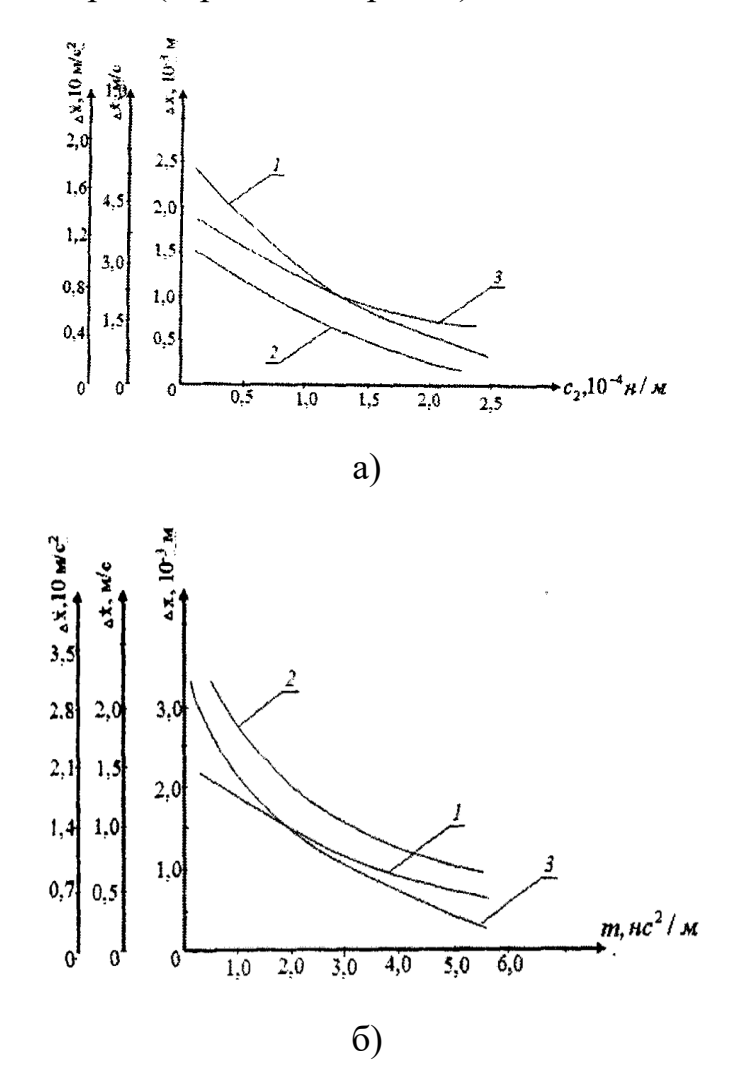


Рис. 2. Теоретические кривые изменения перемещения массы системы X, ее скорости \dot{X} и ускорения \ddot{X} при технологическом режиме работы с варьированием коэффициента жесткости (а) и коэффициента диссипации (б) колосника. Это, в свою очередь, допускает возможность уменьшения металлоемкости колосниковой решетки за счёт применения полых трубчатых стержней. Из анализа графиков варьирования массы колосника $(0.9; 2.7; 3.6; 5.4 \text{ H } c^2/\text{м}$ видно, что с увеличением массы возрастает амплитуда колебаний, но наблюдается колебаний. Наилучшими уменьшение частоты результатам ПО анализа исследований является $m = (1,2 \div 1,8 \wr H \frac{c^2}{2})$.

Важность учета технологических нагрузок от хлопка на стержнях колосника объясняется тем, что их величина меняется в широких пределах, в зависимости от подачи хлопка (производительности машины) и имеет случайный характер воздействия, скорости и ускорения колосника в функции технологической нагрузки от хлопка-сырца. Детерминирующей составляющей колебания нагрузки является низкая частота 5 Гц, что соответствует частоте вращения пильчатого

барабана очистителя. Высокочастотное составляющее 34 Гц обусловлено неравномерностью подачи хлопка-сырца. При расчетной нагрузке в системе колосники совершают с малой амплитудой колебания, 0,8 ÷. Увеличение же нагрузки до 60 Н приводит к увеличению амплитуды колебаний колосника до 1,8 ÷2,2 мм. Но, при этом увеличение скорости колебания незначительное, 0,6 ÷0,8 м/с. При дальнейшем увеличении нагрузки на практике обычно происходит забой хлопка-сырца между колосником и пильным барабаном. Таким образом, разработанная конструкция колосниковой решетки на упругих опорах очистителя хлопка от крупного сора с рекомендованными рациональными параметрами эффекта обеспечивает повышение очистительного И производительность машины.

LITERATURE:

- 1. Funk, A.Pual, Wanjura, D.John.Cotton seed unloading systems. Journal of Cotton ScienceVol. 21, Issue 1, pp. 51-59, Published 2017.
- 2. Джураев of А., Джамалханов Г., Юлдашев of Р.Х. Influence of furnace-bar grates with resilient supports on the cleansing effect of purifiers of large litter. Реф. Сб. Cotton industry, 1986, №2, с.8.
- 3. Джураев of A. Design of dynamics of machine aggregates of хлопко прерабатывающих machines. A monograph, of publ. is Fan, Tashkent, 1984, 128 p.
- 4. Раевский of H.P. Methods of experimental research of mechanical parameters of machines. M., publ. AH the USSR, 1952.